

遲滞時間について  
—雨水流に関する研究(1)—

東京教育大学農学部 正員○杉山博信  
京都大学防災研究所 正員 角屋睦

1. まえがき 今まで、単位図法を初めとして各種の流出解析法が提案され、治水、利水計画の見地から、ほぼ満足すべき結果をあげているが、大地を流れな雨水の運動の水理学的な解明は十分とは思われない。そこで、本報告では、雨水の流出機構を解明する初步的段階として、山腹斜面の雨水流を人工降雨実験で再現し、貯留量と表面流出量の関係および、遅滞時間の推定について検討し、かつ、得られた手法を実流域に適用してその妥当性を検証する。

2. 基本式 山腹斜面流が等流に近ければ運動方程式および連続式は次式で表現される。 $h = kg^P - \frac{1}{2} \frac{dh}{dt} + \frac{g^2}{2} t^2 = t - \dots$  ここで、 $h$ : 水深  
 $g$ : 単位中流量、 $t$ : 距離、 $t$ : 時間、 $r$ : 降雨強度、 $P, K$ : 定数

斜面上の単位面積当たりの貯留量  $S$  は kinematic wave 理論により次の様に展開される。i) 降雨継続期間: 特性曲線  $\frac{ds}{dt} = g^{1-p}/PK$  上において、

$$t = kg^P/r$$
 での  $S$  は  $\frac{ds}{dt} = r - g/L$  を積分し、初期条件より  $S = kg^P - \frac{1}{L} (K/P)^{1/p} (kg^P/t)^{p/(p-1)}$  —③ 式を整理す

$$\text{り} S = KL^p g^p (1 + P(1 - \beta L))^{1/p} / (1 + P) —④ \text{ ここで、} L \text{ は} \\ \text{特性曲線} g(L-t=0) \text{ を出発してもまだ流下する距離。}$$

$$\text{ii) 降雨終了後: } \frac{ds}{dt} = -(g/L) —⑤ \quad t = kg^P/g^{1-p} (L-x) —⑥$$

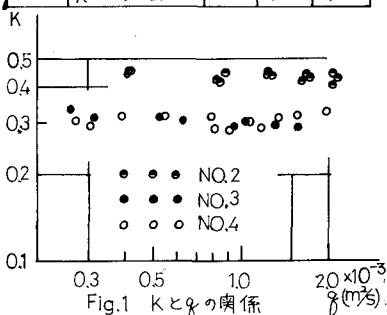
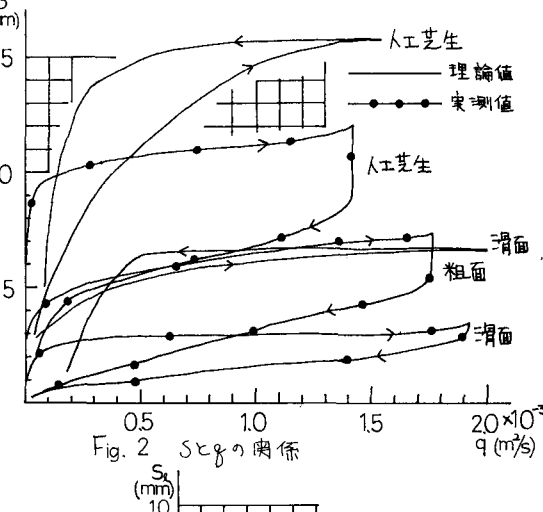
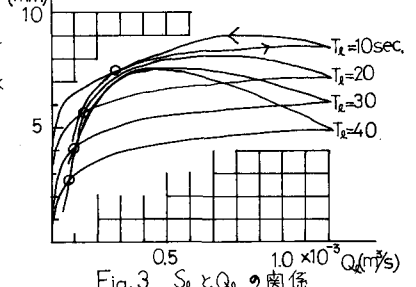
$$\text{⑤, ⑥式を i) の場合と同じ様に展開し整理すると次式} \\ \text{となる。} S = k/L^p g^p - k/L^p (K/P)^{1/p} (PK/g^{1-p}) (L-x)^{p/(p-1)} —⑦$$

3. 実験装置及び方法 実験装置は、巾 1m、長さ 10m のミク配可変水路で、人工降雨発生装置としては散水ノズルを 2 列に 36 個使用した。流量測定は、実験水路の末端部に設置した計量槽の水位を自記させ、さらに、側壁がらマーマーを突出させて水位を実測した。Table 1 は実験条件の一覧表である。

4. 実験結果及び考察 i) 流れの抵抗則: 雨水流の運動方程式  $h = kg^P$  が表現されたとき、定数  $K, P$  は流れの状態によつて次の様に表示できる。②乱流で Manning の抵抗則に従う場合には  $K = (N/4C)^P$ ,  $P = 3/5$ , ③層流の場合には,  $K = (32/g)^P$ ,  $P = 1/3$ , ここで、 $N$ : ミク配,  $C$ : 動粘性係数 実験 No. 2, 3, 4 の場合に、流れが Manning の抵抗則に従うものとして、実験水路の上流端から 2, 4, 6, 8, 10m 各地点での  $k$  および  $g$  を算出すると、Fig. 1 に示すとおり各地点での  $K$  値はほぼ一定値となる。これは、流れが乱流で Manning の抵抗則に従うことを意味している。次に、実験水路の上流端から 2, 4, 6, 8, 10m 各地点での定常時ににおける水深を実測し  $K, P$  を算出した。Table 1 の  $K, P$  はその一例である。

Table 1. 実験条件一覧表

実験NO.	表層材料	ミク配	$K$	$P$
1	滑面	5 %	0.032	0.33
2	粗面	5 %	0.394	0.58
3	人工芝生	5 %	0.204	0.55
4	人工芝生	4 %	0.337	0.61

Fig. 1  $K$  と  $g$  の関係Fig. 2  $S$  と  $q$  の関係Fig. 3  $S_L$  と  $Q$  の関係

ii) 貯留量と流出量の関係: 一般に、全表面貯留量はDepression storage, Wedge storage, Detention storage の合計で表示される。今回の一連の実験では、実験開始前に干ばつ地を蒸水にして実験を試行したので実測貯留量はWedge storage とDetention storage を加えたものであり、また、④と⑦式より算出した理論値はDetention storage の式の値である。Fig.2は各実験条件での貯留量と流出量の関係を図示したもので、実測値及び理論値いずれの場合にも貯留量と流出量の関係は顕著なヒステリシス効果を表わしている。  
iii) 遅滞時間の推定: 降雨中遅滞時間( $T_d$ )を一定とし、10秒毎に $T_d$ を変化させて場合の貯留量( $S_d$ )と流出量( $Q_d$ )の相関図の一例がFig.3である。図から判断して、 $S_d$ と $Q_d$ の関係は一価関係に成り得ないが特定の範囲内では一価関数になりうる。そこで、 $T_d$ は $T_d = f(Q)$ で表示されるものとする。 $T_d$ を変化させて各 $S_d \sim Q_d$ 曲線の上昇部と下降部との交叉点が一価になりうるので、各々の曲線での交叉点をさがし、 $T_d$ と $Q$ の相関を両対数線上にプロットした。その一例がFig.4である。ほぼ直線で近似できるので $T_d$ は $Q$ の関数で表示でき、定数は流域系を構成する因子により左右されるものと思われる。次に、 $T_d = f(Q)$ に基づいて $Q_d = f(Q + T_d)$ 及び $S_d$ を算出する。Fig.5は両対数線上に $S_d$ と $Q_d$ をプロットした一例であり、多くのバラつきがあるにしてもほぼ直線で近似できる。つまり、 $T_d$ を降雨中一定にした場合、 $S_d$ と $Q_d$ の関係は一価関数になりにくいかぎり、 $T_d$ を $Q$ の関数で表示してもより一価関数に近い関係を示す。

### 5. 実流域への適用と考察

$T_d = f(Q)$ の適用性を検証する。対象流域として、名古屋市東部の香流川流域(流域面積26.99km<sup>2</sup>)を選定し、また、1972年6月8日と7月24日の出水を水モデルとして考慮を加える。まず初めに、洪水期間中 $T_d$ を一定とし10分毎に $T_d$ を変化させて $T_d$ と $Q$ と関係を両対数線上にプロットするとほぼ直線を示し $T_d = 121.3Q^{-1.2}$ (ここで、 $T_d$ : 分,  $Q$ : m<sup>3</sup>/s, 6月8日の出水)で表示できる。次に、 $T_d = 121.3Q^{-1.2}$ に基づいて $S_d$ と $Q_d$ の関係を検討する。 $Q_d$ は $Q_d = Q(Q + T_d)$ の関係から求め、 $S_d$ は関係式  $R - Q_d = 45\%$ から計算すると $S_d$ と $Q_d$ の関係は一価関数に近い関係を示す。従来は、 $T_d$ を一定として $S_d$ と $Q_d$ の関係を求め

たが、 $T_d$ を $Q$ の関数とみなして $S_d$ と $Q_d$ を算定してみたがより一価関数に近い関数が得られる。次に、 $T_d = 121.3Q^{-1.2}$ を7月24日の出水上適用する。Fig.6は $T_d = 121.3Q^{-1.2}$ から算出された $S_d$ と $Q_d$ の関係でほぼ直線で近似でき、またFig.7は各々の $S_d$ と $Q_d$ の関係式を基にして數値シミュレーションした結果である。 $T_d = f(Q)$ を基にしたシミュレーションの結果は再現性が良いが、対象地区では、 $T_d = 121.3Q^{-1.2}$ は $T_d$ を推定するには相当な関数と思われる。

b. めとざき 人工降雨実験より得られた遅滞時間推定法を実流域に適用し検証した。その結果、 $T_d$ を一定とするよりも、 $T_d$ を $Q$ の関数とみなした方がよさそうである。また、 $T_d = f(Q)$ は流域系を構成する因子により左右されると思われる。最後に、実験に多少の助力を下した研究室の皆様に感謝する。

